

رئومتر مویین: اساس نظری و کاربردها

Capillary Rheometer: Theory and Applications

سلوی فرهنگ‌زاده

تهران، پژوهشگاه پالیمر ایران، صندوق پستی ۱۱۵-۱۴۹۶۵

دربافت: ۷۸/۲/۱۵، پذیرش: ۷۸/۱۲/۶

چکیده

با توجه به نقش رئولوژی پلیمرها در طراحی و ساخت تجهیزات فراورش و قالبگیری و همچنین، اثر رفتار رئولوژیکی مواد پلیمری بر خواص مکانیکی محصول نهایی، اندازه‌گیری خواص رئولوژیکی این مواد اهمت بسزایی دارد. در این میان رئومترهای مویین به عنوان دستگاههای حالت یا با از مشتاولترین و سابل مطالعه رفتار رئولوژیکی پلیمرهای مذاب شمار می‌روند. مطالعات نشان می‌دهد که رئومترهای مویین برای مطالعه خواص رئولوژیکی بسیاری از گرمایش‌ها، گرمایش‌های مهندسی و آلبازهای آنها و نیز سرخی الاستومرها کاربرد دارند. این خواص شامل گرانزوی، روان‌کشانی مذاب، تورم پس از حدیده و شکست مذاب در سرعتهای برش زیاد و در محدوده دماهای مختلف است. همچنین، با تغییر شکل هندسی حدیده مانند ابعاد، ورودی حدیده و غیره می‌توان از این رئومترها برای بررسی خواصی جون گرانزوی کششی نک‌جهتی و خواص اصطکاکی استفاده کرد.

واژه‌های کلیدی: رئومتر مویین، مذاب پلیمر، گرانزوی، سرعت برش

Key Words: capillary rheometer, polymer melt, viscosity, shear stress, shear rate

خواص رئولوژیکی به سرعت برش، وزن مولکولی و ساختار پلیمر،
غلظت مواد افزودنیهای مختلف و دماستگی دارند [۸].

از آنجاکه فراورش و تولید قطعات مستلزم جریان یافتن پلیمرهاست، رئولوژی پلیمرها از اهمیت خاصی برخوردار است. رفتار جریان در قالبگیریهای تزریقی، دمثی و تراکمی؛ ورقه‌سازی به کمک غلتک؛ شکل‌دهی سرد و ریستندگی الیاف اثر بسزایی دارد. رئولوژی پودرهای پلیمری، پیش از ذوب آنها در نخستین بخش اکسترودر ماشینهای قالبگیری تزریقی بسیار مهم است. رفتار رئولوژیکی مواد، روی خواص مکانیکی محصول نهایی اثر می‌گذارد. مثلاً، جهتگیری مولکولی اثر زیادی بر خواص مکانیکی محصولات تزریقی، فیلها و الیاف دارد. نوع و درجه جهتگیری را تا حد زیادی می‌توان با بررسی رفتار رئولوژیکی پلیمر و ماهیت جریان آن طی فرایند ساخت بدست

مقدمه

رئولوژی علم مطالعه جریان و تغییر شکل مواد است [۱-۷]. رئولوژی نوین سیار گسترده‌تر از مفهومی است که از این واژه برداشت می‌شود. این علم تقریباً با تمام جنبه‌های تغییر شکل اجسام حقیقی در اثر تنشهای خارجی سروکار دارد [۱]. برای بسیاری از سیالات ساده، مطالعه رئولوژی روی اندازه‌گیری گرانزوی متصرک می‌شود. برای این گونه سیالات، گرانزوی به دما و فشار هیدرولاستاتیک استگی دارد. از آنجاکه سیالهای پلیمری (محلولهای پلیمری و مذاب پلیمرها) رفتار غیر ایده‌آل از خود نشان می‌دهند، رئولوژی آنها پیچیده‌تر است.

سیالهای پلیمری علاوه بر گرانزوی مرکب، دارای خواص کشسانی، بدبده تنشهای عمودی و گرانزوی کششی‌اند. همه این

تجهیز به سلول بار (load cell) استفاده می‌شود. طرح کلی مجموعه اندازه‌گیری دستگاه در شکل ۱ نشان داده شده است. همان طور که در شکل دیده می‌شود، این مجموعه روی یک پایه (۸) قرار گرفته که میان سطنهای اصلی دستگاه (۱۰) ثابت شده است و شامل محفظه نمونه (۴)، گرم کن الکتریکی (۶) و ترموموپلهاست (۵). مذاب پلیمر (۲) از میان حدیده (۱) به وسیله پیستون (۳) رانده می‌شود که این پیستون به سلول بار (۹) اتصال دارد.

لولهای موین (حدیده‌ها) به آسانی قابل تعویض است. این حدیده‌ها با نسبتها طول به قطر (L/D) مختلف قابل تهیه‌اند. استفاده از لوله‌های موین با اندازه‌های مختلف باعث می‌شود تا بتوان به سرعتهای برش از $1 \text{ تا } 4 \times 10^4 \text{ دست یافت}$ [۴]. با یک محاسبه ساده می‌توان تنش برشی را از افت فشار حاصل از عبور مایع از یک لوله موین بدست آورد؛ اما، سرعت برش به شدت جریان وابسته است. در رئومتر موین آورده، اما، سرعت برش به شدت جریان وابسته است. در رئومتر موین

آورده، پدیده روان کشانی از ویژگیهای پلیمرهای با جرم مولکولی زیاد بشمار می‌رود. این پدیده نقش خود را با مدل برشی کشان، اثر تشهای عمودی و تورم پس از حدیده در فرایندهای ریستندگی و اکستروژن نشان می‌دهد. دلیل اصلی خواص کشانی به چگونگی آرایش قطعات مولکولی به هنگام جریان یافتن ماده بازمی‌گردد. جرم مولکولی و نحوه توزیع آن از عوامل موثر در رئولوژی پلیمرهای مذاب است [۲].

دستگاههای مختلفی برای اندازه‌گیری گرانزوی و دیگر خواص رئولوژیکی پلیمرهای مایع، محلول و مذاب بکار می‌روند. اغلب این دستگاهها خواص رئولوژیکی را به صورت تابعی از دما و شدت برش اندازه‌گیری می‌کنند. رئومترها به سه دسته تقسیم می‌شوند: دسته اول، دستگاههای حالت پایا که شامل گرانزوی سنجهای برشی ساده با استوانهای هممحور، صفحه و مخروط و دو صفحه موازی و رئومترهای موین است.

دسته دوم، دستگاههای اندازه‌گیری گرانزوی کمپلکس‌اند. رئومترهای دینامیک اورتوگونال و رئوگونومترها متعلق به این دسته‌اند که در سالهای اخیر بیشتر مورد استفاده قرار گرفته‌اند. دسته سوم، شامل دستگاههای اندازه‌گیری گرانزوی کشی که در این، مقاله اساس نظری و کاربردهای رئومتر موین بحث می‌شود.

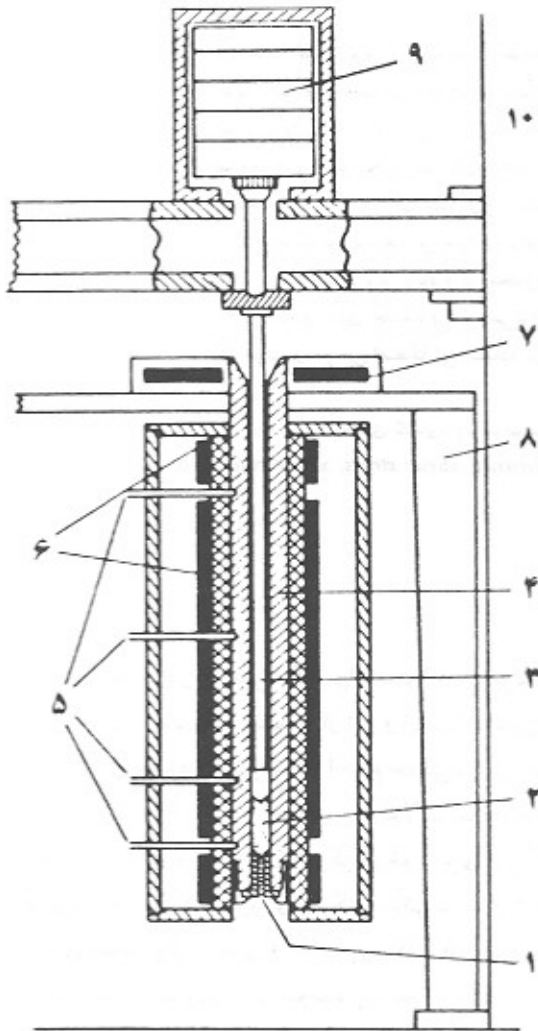
اساس نظری

مواد مایع و مذاب پلیمری در بسیاری از فرایندهای صنعتی بکار می‌روند و رفتار جریانی بسیار متفاوتی دارند. بهترین کارایی مخصوص داشتن داشن) و اطلاعاتی درباره خواص جریان مواد طی فراورش است. معمولترین خاصیت رئولوژیکی قابل اندازه‌گیری گرانزوی است که رفتار مواد را در جریان برشی پایا مشخص می‌کند [۴].

رئومتر موین یکی از متداولترین دستگاههای مطالعه رفتار رئولوژیکی پلیمرهای مذاب است. بنابراین، برای کشانی که با این دستگاه سروکار دارند، داشتن محدودیتها و کاربردهای مناسب آن مهم است. رئومتر موین شامل یک لوله موین کوچک است که مذاب پلیمر به وسیله یک پیستون یا اعمال فشار با سرعت ثابت از میان آن به بیرون رانده می‌شود [۸]. طی عبور مذاب از این لوله، لایه‌ای از آن که با دیواره لوله تماس دارد، دارای سرعت صفر است و باگذر از دیواره به سمت خط مرکزی، سرعت لایه‌ها بیشتر می‌شود تا به بیشترین مقدار خود در خط مرکزی می‌رسد. در عمل برای اندازه‌گیری گرانزوی، میزان تنش برشی اعمال شده روی لایه‌های مایع و نیز سرعت برش لازم است [۷].

دستگاه اصلی

امروزه برای انجام آزمایش از رئومترهای موین با سرعت رانش ثابت و



شکل ۱ - طرح کلی مجموعه اندازه‌گیری رئومتر موین [۴]

روی پستون اعمال می‌شود که مقدار این نیرو برابر است با:

$$F = A_p \Delta P \quad (3)$$

در این معادله A_p سطح مقطع پستون است. با جایگزینی معادله ۳ در معادله ۲ تنش برشی روی دیواره به دست می‌آید:

$$\tau_w = \frac{F}{\pi A_p (l_c/d_c)} \quad (4)$$

سرعت برش روی دیواره برای مایعات نیوتونی نیم رخ سرعت سهمی است، بنابراین ۷ روی دیواره عبارت است از:

$$\gamma_w = \frac{\Delta V}{d_c} \quad (5)$$

۷ سرعت متوسط عبور جریان مایع از لوله موین است. سرعت متوسط مطابق معادله ۶ از سرعت پستون (V_{xH}) و نسبت قطر محفظه نمونه (d_b) به قطر لوله موین (d_c) بدست می‌آید:

$$V = \frac{V_{xH}}{\gamma_w} \left(\frac{d_b}{d_c} \right)^2 \quad (6)$$

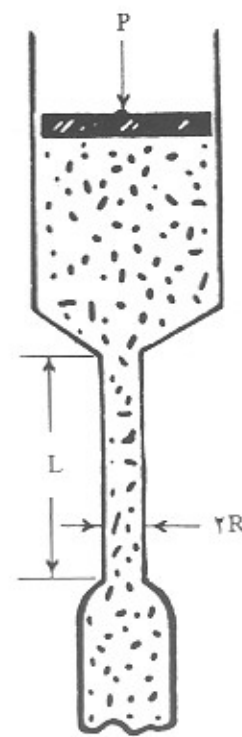
که در آن سرعت پستون بر حسب cm/min یا in/min و قطرها بر حسب cm یا in می‌شود. با قرار دادن مقدار ۷ در معادله قبلی، سرعت برش بر حسب معکوس ثانیه به دست می‌آید:

$$\gamma_w = \frac{7}{15} V_{xH} \left(\frac{d_b}{d_c} \right)^2 \quad (7)$$

این معادله سرعت برش سیالات نیوتونی را نشان می‌دهد. با توجه به معادله‌های ۴ و ۷ که قبله بیان شد، می‌توان گرانتروی ظاهری μ_a را از معادله زیر محاسبه کرد:

$$\mu_a = \frac{\tau_w}{\gamma_w} \quad (8)$$

تورم پس از حدیده معمولاً هنگامی که یک سیال غیر نیوتونی از لوله موین عبور می‌کند، محصول اکستروژن نسبت به قطر سوراخی که از آن عبور می‌کند، دارای قطر بزرگتری است. نسبت قطر محصول اکستروژن به قطر سوراخ لوله موین (حدیده) را تورم پس از حدیده گویند. با توجه به این واقعیت که تورم پس از حدیده تابعی از تشکیاهای عمودی بوجود آمده در لوله



شکل ۲ - خروج مذاب پلیمر از لوله موین در اثر فشار ناشی از پستون .(۷)

میزان افت فشار از اندازه گیری مقدار نیروی وارد شده به پستون بدست می‌آید [۷]. پستون با سرعت ثابت به داخل محفظه حاوی نمونه رانده می‌شود و نمونه ذوب شده از لوله موین عبور کرده بیرون می‌رود (شکل ۲).

اندازه گیری گرانتروی ظاهری

تشن برشی روی دیواره محاسبه نشان می‌دهد که تشن برشی (۷)، با فاصله از خط مرکزی لوله موین (۸)، به صورت خطی افزایش می‌یابد و از معادله زیر قابل احتساب است:

$$\tau = \frac{\Delta P}{2 l_c} r \quad (1)$$

که در آن ΔP افت فشار در طول لوله موین (۸) است. بنابراین، تشن برشی روی دیواره عبارت خواهد بود از:

$$\tau_w = \frac{\Delta P}{4} \frac{d_c}{l_c} \quad (2)$$

در این معادله d_c قطر لوله موین است. نیروی F به وسیله مذاب پلیمر

هنگامی که تغیر شکل محصول اکستروژن با لغزش جریان مشاهده می‌شود، داده‌های جریان موین را نمی‌توان برای محاسبه مقادیر واقعی خواص رئولوژیکی یکار برد. معمولاً شرایطی که در آن تغیر شکل اتفاق می‌افتد ثبت می‌شود، زیرا این اطلاعات از اهمیت خاصی برخوردار است.

تصحیح رابینوویچ

در صورتی که سیال غیرنیوتونی باشد، نیم رخ سرعت پسته به میزان رفتار غیرنیوتونی مابعد از حالت سهمی خود منحرف می‌شود. این بدان معنی است که سرعت برش روی دیواره برای این گونه سیالات با آتجه که قبل ایان شد، متفاوت است. مقدار $\frac{dV/d_c}{dV/d_c}$ اغلب سرعت برش ظاهری نامیده می‌شود. مقدار واقعی آن با انجام تصحیح رابینوویچ (Rabinowich) به صورت زیر درمی‌آید:

$$\gamma_w = \frac{3n+1}{4n} \frac{dV}{d_c} \quad (9)$$

که در آن:

$$n = \frac{d \ln \tau_w}{d \ln (\Delta V/d_c)} \quad (10)$$

مقدار n شب منحنی نمودار τ_w بر حسب $\Delta V/d_c$ است. بنابراین، شدت برش روی دیواره برای سیال غیرنیوتونی به صورت زیر خواهد بود:

$$\gamma_w = \frac{2}{15} \left(\frac{3n+1}{4n} \right) V_{xH} (d_b^2 / d_c^2) \quad (11)$$

گرانروی ظاهری سیال از همان معادله قبلی و با γ_w تصحیح شده محاسبه می‌گردد [10].

تصحیح بگلی

این تصحیح به علت غیرایده‌آل بودن ناشی از آثار روان‌کشانی سیال در ورودی لوله موین روی تش برشی صورت می‌گیرد. طول موثر لوله موین از طول حقیقی آن بیشتر است. تش برشی روی دیواره با توجه به شکل ۳ عبارت خواهد بود از [7]:

$$\tau_w = \frac{F}{2Ap(l_c/r_c + e)} = \frac{\Delta P}{2(l_c/r_c + e)} = \frac{P - P_0}{2l_c/r_c} \quad (12)$$

کاربردها

اندازه‌گیری خواص رئولوژیکی بويزه گرانروی گرمایشها برای شبیه‌سازی و طراحی سیستم سیار حائز اهمیت است. پژوهشگران

- موبین است، فنون مختلفی برای محاسبه تنشهای عمودی و در نتیجه میزان روان‌کشانی با استفاده از تورم پس از حدیده ارائه شده‌اند. فنون اندازه‌گیری تورم پس از حدیده به صورت زیر است [11]:
- استفاده از میکروسکوپ با حرکت عمودی،
- عکاسی و اندازه‌گیری قطر رشته در تصویر بزرگ شده،
- استفاده از سایه نگار (shadowgraph) و
- بکار گرفتن دوربین ویدیویی متصل به سیستم توری که دارای نرم‌افزار لازم برای خواندن قطر رشته‌ها بطور مستقیم است.

فن اخیر، بويزه هنگامی که نمونه‌های بسیاری باید آزمایش شوند یا وقت زیادی مورد نیاز است، روش مناسبی بشمار می‌رود.

شکست مذاب

رئومترهای موین تنها دستگاههایی هستند که می‌توان بواسیله آنها اطلاعاتی درباره پدیده شکست بدست آورد. تعریف این پدیده در BS (British Standard) به صورت تغیر شکل نامنظم محصول اکستروژن پلیمر به هنگام عبور از حدیده آمده است. این تعریف، شکست مذاب را در زمرة پدیده‌های مذابهای پلیمری فرار می‌دهد. امروزه، این اصطلاح به تغیر شکل نامنظم هر نوع سیال به هنگام عبور از حدیده اطلاق می‌شود. واژه سیال نه تنها به پلیمر مذاب بلکه به ژله‌ها، خمیرها، تعیقها و محلولهای پلیمری نیز گفته می‌شود [11].

نایابداریهای جریان

معادله‌های ارائه شده برای محاسبه سرعت برش و گرانروی در رئومتر موین بر مبنای مجموعه‌ای از فرضهای است. مثلاً، فرض می‌شود که جریان سیال پایا بوده و سرعت آن به صورت نایاب از شاعع لوله موین است که روی دیواره به صفر می‌رسد، به عبارتی شرایط لغزش در نظر گرفته نمی‌شود. در شرایط معین، جریان مذاب در لوله موین نایابا می‌شود. این پدیده در تشنگی سرعت برش یا کاهش دما، روی ظاهر پلیمر خروجی از لوله موین کاملاً مشهود است. این پدیده گاهی شکست مذاب نامیده می‌شود. شکست مذاب نه تنها در استفاده از لوله موین بلکه در فرایندهای اکستروژن صنعتی نیز ایجاد محدودیت می‌کند.

پدیده دیگری که گاهی در جریان موین پلیمرهای مذاب مشاهده می‌شود، بويزه در پلی‌اتیلن سنگین، افزایش ناگهانی سرعت جریان به هنگام رسیدن فشار را تش تا حدی معین است. این موضوع توسط رودین و چانگ مطالعه شده است [9]. بمنظور می‌رسد که افزایش ناگهانی سرعت جریان به لغزش پلیمر در نزدیکی یا روی دیواره بستگی دارد که در نتیجه افت چسبیدگی میان پلیمر و دیواره یا افت همچسبی در امتداد سطح استوانه‌ای پلیمر است، که بسیار نزدیک به دیواره است.

است [۱۴]

بررسیهای انجام شده روی مذاب کوپلیمرهای اتفاقی پلی(بوتیلن ایزووفنالات)/ترافتالات به کمک رئومتر موین در محدوده دمایی 20°C - 240°C و رسم نمودارهای جریان نشان می‌دهد که در یک دمای ثابت در نمونه‌های دارای متوسط وزن مولکولی یکسان ولی با ترکیب درصدی مختلف، با افزایش واحدی کومونومر PBT، گرانروی نیوتونی افزایش می‌یابد. همچنین، انرژی فعالسازی جریان مذاب که با استفاده از معادله آرینوس بدست آمده است کاملاً تحت تاثیر ترکیب درصد اجزای سازنده قرار دارد [۱۵]. این مطالعه سرای کامپوزیتهای پلیپروپیلن بر شده با پودر نقره نیز انجام شده است [۱۶]. بررسی خواص جریان موین گراماترهای مهندسی سرای کاربردهای صنعتی نیز از اهمیت ویژه‌ای برخوردار است. برخی از پژوهشگران خواص جریان موین یک گرمارام مهندسی جدید مانند فنول فتالین پلی اتراترکون را به کمک رئومتر موین بررسی کرده‌اند. آنها استنگی گرانروی را به سرعت برش روی دیواره و دما بررسی و اثر ورودی را محاسبه نموده‌اند و به دنبال آن رفتار کششی را نیز برآورد کرده‌اند [۱۷].

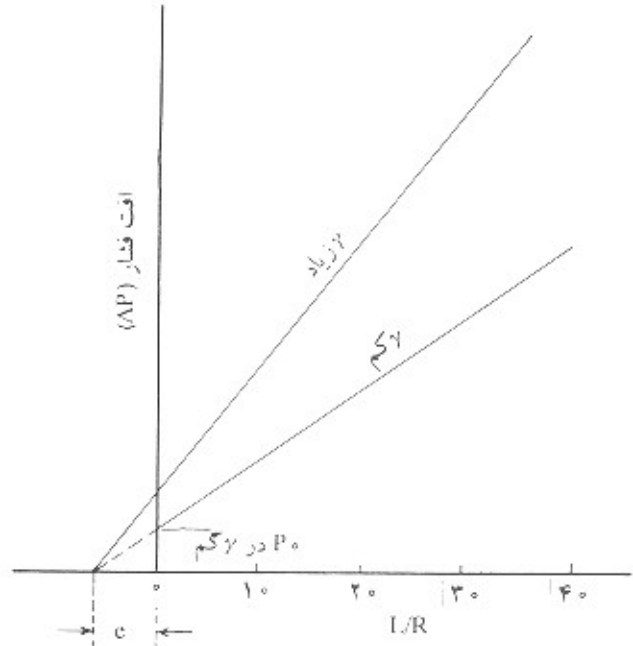
در برخی موارد استفاده از داده‌های رئومتری موین برای آلیازهای پلیمری در درصدی مختلف اجزای تشکیل دهنده آنها و مطابقت این داده‌ها با نتایج بدست آمده از دیگر دستگاهها در تعزیز و تحلیل رفتار این مواد بسیار موثر است. این بررسی برای آلیازهای پلی پروپیلن و پلی پروپیلن مالئات دار در مرجع ۱۸ گزارش شده است. پژوهشگران بکار گیری رئومتر موین را برای اندازه گیری گرانروی کششی تک جهتی گزارش کرده‌اند. این نوع اندازه گیری با تعویض حدیده موین استاندارد با نوعی حدیده متقارن محوری امکان پذیر شده است. گرانروی کششی نک جهتی برای دو نوع پلی پروپیلن تجاری، نایلون ۶۶ ساخت دوپان، پلی اسینن هم آرایش و انواع تجاری پلی اتیلن در مرجع ۱۹ گزارش شده است.

رئومتر موین برای بررسی خواص اصطکاکی پلی اولفینهای

جدول ۱- مشخصات تجاری پلی پروپیلن و پلی اتیلن سیک خطی مورد استفاده.

سازنده	پلیمر	نشانه تجاری	شاخص گرانروی مذاب η_{f} ($\text{g}/10\text{ min}$)
همونت	PP	PRO-FAX ۶۸۲۲	۰/۵
همونت	PP	PRO-FAX ۶۶۲۲	۱/۷
اکسون	LLDPE		۰/۵
اکسون	LLDPE		۱/۰

نک- دمای آرمایش برای PP، 230°C و برای LLDPE 160°C است.



شکل ۲- تصحیح بگلی.

گرانروی را در سرعنایی برش زیاد به عنوان تابعی از سرعت برش و دما به کمک رئومتر موین اندازه گیری و اثر سرعت برش، تنش برشی و دما را بر گرانروی ظاهری بررسی کرده‌اند.

نتایج حاصل از رئومتری موین برای پلی پروپیلن نیمه بلوری در سه دمای 180°C ، 200°C و 220°C در سرعت برشهای زیاد (تا 10^{min}^{-1}) به همراه اطلاعات بدست آمده از گرماسنج پوششی تفاضلی و رئومتر نوع صفحه و مخروط برای ارائه نوعی مدل سیستیکی بلور الفا شده با برش (shear-induced crystallization) بکار گرفته شده است [۱۱]. همچنین، با استفاده از داده‌های رئومتری موین رفتار رئولوژیکی پلی(فنیلن سولفید) از نوع ریتون مطالعه شده و علاوه بر بدست آوردن گرانرویهای ظاهری این پلیمر در دمایهای مختلف شاخص غیرنیوتونی (non-Newtonian index) و انرژی فعالسازی جریان گرانرو نیز محاسبه شده است [۱۲].

با مطالعه پذیره تورم پس از حدیده و محاسبه گرانروی ظاهری مذاب به کمک رئومتر موین برای آلیازهای پلی اتیلن سیک و دو نوع پلی اتیلن سیک خطی، سازگاری این پلیمرها و انرژی فعالسازی آنها بررسی شده است [۱۳].

همچنین، رفتار رئولوژیکی آلیازهای پلیمر بلور مایع گرمگرا (LCP) و پلی کربنات (PC) بررسی و در مقایسه با خواص رئولوژیکی PC توجه گیری شده است که رفتار رئولوژیکی این دو با یکدیگر بسیار متفاوت است. این مقایسه به کمک رئومتر موین با لوله‌های موین دارای L/Dهای مختلف و در محدوده دمایی 20°C - 230°C انجام شده

که در آن $F-F$ اختلاف نیروها، A_x سطح مقطع محفظه نمونه، P فشار روی سطح بالایی و P_+ فشار بر سطح انتهایی پستون آلومینیمی است. بنابراین، نیروی اصطکاک پلیمر روی دیواره فلزی عبارت است از:

$$F_f = \mu N = \mu \left(\frac{P + P_+}{2} \right) A_w \quad (14)$$

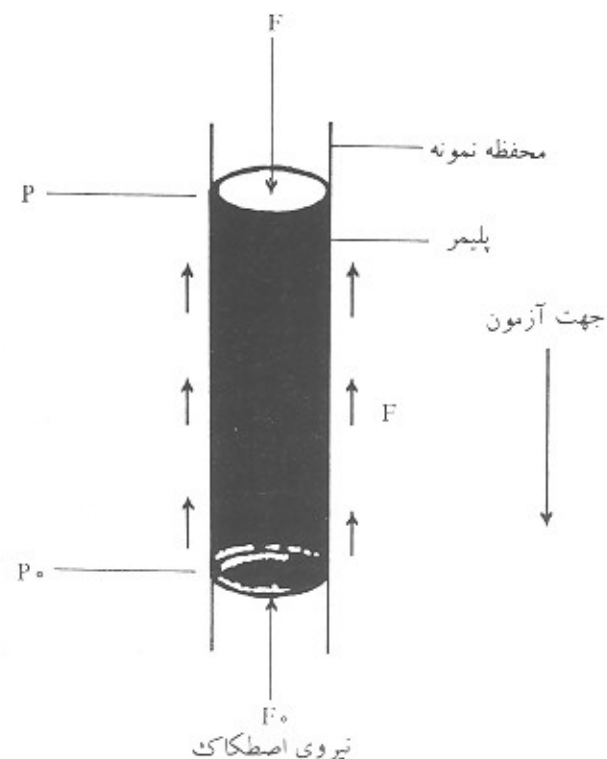
و A_w مساحتی از محفظه نمونه است که در تماس با پلیمر قرار دارد، بنابراین در نهایت می‌توان ضریب اصطکاک را از معادله زیر بدست آورد:

$$\mu_f = \frac{F-F_0}{2(P-P_0)} \frac{D}{L} \quad (15)$$

در این معادله μ_f ضریب اصطکاک، F نیروی اندازه گیری شده و F_0 نیروی اندازه گیری شده بدون نمونه پلیمر است که اصطلاحاً به آن فشار برگشتی (back pressure) می‌گویند. D و L نیز به ترتیب قطر و طول محفظه نمونه است. مقادیر اندازه گیری شده نیروی اصطکاک در جدول ۲ و شکل ۵ آمده است [۲۰].

بکارگیری رئومتر موین در مطالعه رفتار رئولوژیکی گرمابندها معمول است، اما کاربرد آن برای لاستیک محدود تهابی را دربر دارد. اثر خردکردن و دماروی خواص رئولوژیکی لاستیک طبیعی به کمک رئومتر موین مطالعه شده است. جریان لاستیک در محفظه نمونه به وسیله شرایط آزمون مختلف مانند شکل هندسی حدیده، سرعت پیستون و دمای آزمون و با استفاده از لایه‌های آمیزه‌های لاستیک رنگدانه‌دار بررسی شده است. مطالعه الگوی جریان در محفظه نمونه رئومتر بسیار پیچیده بوده و تابعی از جایه جایی پیستون است. نیم رخ سرعت در نزدیک ورودی حدیده برای جایه جایه‌ای مختلف پیستون بدست آمده است.

نتایج نشان می‌دهد که نیم رخ سرعت در نزدیکی ورودی حدیده سهمی بوده و ظاهر اسrust سرعت در دیواره حدیده صفر نخواهد بود.



شکل ۴ - تحلیل نیروها برای اندازه گیری ضریب اصطکاک.

عمل آوری شده با کمک فراورش‌های از نوع الاستومر فلوئوردار نیز بکار می‌رود. در مرجع ۲۰ این بررسی به کمک یک رئومتر ساخت اینسترون مدل ۱۱۲۵ صورت گرفته است. حدیده بکار رفته دارای قطری معادل 72.9 mm و نسبت $L/D = 39/1$ است. در این پژوهش تصحیح راینوویج و اثر انتهایی اعمال نشده است. مشخصات پلی‌پروپیلنها و پلی‌اتیلن‌های سبک خطی بکار رفته در این بررسی در جدول ۱ آمده است. برای اندازه گیری ضریب اصطکاک با توجه به شکل ۴ و انجام محاسبات مربوط در حالت پایا از معادله زیر استفاده شده است:

$$F-F_0 = (P-P_0)A_x \quad (16)$$

جدول ۲ - نیروی اصطکاک بدون نمونه پلیمر (F_0) و با پلیمر (F) برای پلی‌پروپیلن (MI = ۰/۵) (الف)

طول محفظه نمونه، L (cm)	سرعت پیستون (in/min)					
	۱۰/۸	۷/۷۱	۵/۴۰	۲/۰۸	۱/۵۴	۰/۰۰
	F (lb _f)			F ₀ (lb _f)		
۱۹/۵	۱۷/۶	۱۷/۰	۱۴/۸	۱۴/۸	۱۴/۵	۱/۰
۲۴/۰	۲۱/۰	۲۰/۵	۱۶/۵	۱۵/۰	۱۴/۶	۲/۰
۳۴/۰	۲۷/۵	۲۴/۵	۱۸/۵	۱۶/۷	۱۴/۸	۵/۰
۴۵/۰	۳۲/۵	۲۹/۵	۲۱/۳	۱۸/۳	۱۵/۰	۱۰/۰

الف - فشار برگشتی $9/94 \text{ lb}_f$ (۶۰ psi) و دما 21°C است.

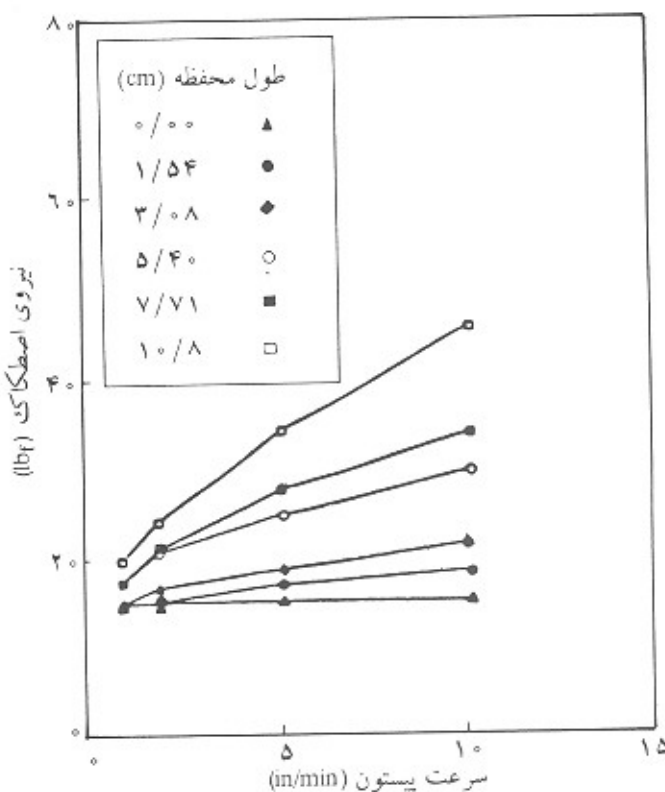
تریقی شباht دارد. تورم پس از حدیده و شکست مذاب دو پدیده بسیار مهم در پژوهش‌های رئولوژیکی اند که تنها با رئومتر موین می‌توان آنها را مطالعه کرد. همچنین، جریان در این دستگاه شبیه به جریان آرام در لوله است. فن رئومتری موین ساده است، ولی مسائلی چون اثر ورودی دقت خاصی را می‌طلبند. مثلاً، باید از توسعه کامل جریان پویله (Poiseuille flow) در لوله موین اطمینان حاصل شود. دستگاه رئومتر موین بیشترین کاربرد را برای پلاستیکهای مذاب دارد [۱۱].

نتیجه‌گیری

رئومترهای موین اغلب برای مطالعه خواص رئولوژیکی گرمایش مهندسی بکار می‌روند، اما استفاده از آنها برای الاستومرها نیز گزارش شده است. از این رئومترها برای اندازه گیری گرانزوی، روان‌کشانی مذاب، تورم پس از حدیده و شکست مذاب در سرعتهای برش زیاد و محدوده دمایی مختلف بکار می‌رود. با تغییر شکل شناسی حدیده مانند ابعاد، ورودی حدیده و غیره می‌توان از رئومترهای موین برای بررسی برخی خواص مانند ضریب اصطکاک و گرانزوی کشی تک جهتی نیز استفاده کرد.

مراجع

1. Fergusen J. and Kembowski Z.; *Applied Fluid Rheology*; Elsevier Applied Science, London, 1991.
2. Walters K.; *Rheometry*; Chapman and Hall, London, 1987.
3. Schramm G.; *Introduction to Practical Viscometry*; Gebruder Haake GmbH, Germany, 1989.
4. Dealy J.M.; *Rheometers for Molten Plastics*; Van Nostrand, 1982.
5. Collyer A.A. and Clegg D.W.; *Rheological Measurements*; Elsevier Applied Science, London, 1988.
6. *Rheology and Its Role in Plastics Processing*; Rapra Reviews, 1996.
7. Lawrence E.N.; *Polymer Rheology*; Marcel Dekker, 1997.
8. Dealy J.M. and Wissbrun K.F.; *Melt Rheology and Its Role in Plastics Processing*; Van Nostrand Reinhold, New York, 1990.
9. Bagley R. B. and Schreiber H. P.; *Rheology*; 5, Academic,



شکل ۵ - تغییر مقدار نیروهای اصطکاک با سرعت پیستون.

همچنین، شکست مذاب رخ می‌دهد که این پدیده با ظهور اغتشاش در جریان در طول حدیده قابل مشاهده است [۲۱، ۲۲].

بررسی آثار جهتگیری برای مذابهای پلی اتیلنها در خارج از خط تولید، بررسی گرانزوی کشی در حالت پایا برای آمیزه‌های لاستیک با استفاده از نوعی حدیده با دهانه زنگی شکل و قالب پذیری الاستومرهای گرمایش یورتان ارائه شده است به ترتیب در مراجع ۲۳-۲۶ ارائه شده است.

بررسی تورم پس از حدیده نیز با استفاده از رئومترهای موین صورت می‌گیرد. این بررسی برای پلی اتیلنها و آلبازهای آنها [۲۷]، کوپلیمرهای پروپیلن و اتیلن بی آرایش و تک آرایش [۲۸] و الیاف آکریلیک به منظور مطالعه گرهای مولکولی [۲۹] انجام شده است.

مرايا

رئومتری موین برای اندازه گیری خواص رئولوژیکی فن جالب شمار می‌رود. دستگاه اصلی رئومتر نسبتاً ارزان، براحتی قابل ساخت و کار با آن آسان است. در رئومترهای موین به سرعتهای برش بیشتری نسبت به رئومترهای چرخان می‌توان دست یافت. کنترل دما آسان است و فرایند جریان موین به فرایندهای صنعتی بسیاری مانند اکستروژن و قالب‌گیری

21. Gang T. G. et al.; Frictional Properties of Polyolefines Treated with Fluoroelastomer Processing Aids; *J. Appl. Polym. Sci.*; **55**, 1465-76, 1995.
22. Sombatsompop N., Tan M. C. and Wood A. K.; Flow Analysis of Natural Rubber in a Capillary Rheometer. I: Rheological Behavior and Flow Visualization in the Barrel; *Polym. Eng. Sci.*; **37**, 2, 270-80, 1997.
23. Ibid, 281-90.
24. Chirico A. and Sorta E.; Orientation Effects on a high Cis-1,4-Polybutadiene Induced by Shear rate in a Capillary Rheometer; *Polymer*; **38**, 1, 1997.
25. Groves D. J., Martyn M. T. and Coates P. D.; Off-line and In-process Converging Flow Measurements for Polyethylene Melts; *Plast. Rubber Comp.*; **26**, 1, 1997.
26. Clarke J. and Petera J.; Determination of Steady - State Elongational Viscosity for Rubber Compounds Using Bell-Mouthed Dies; *J. Appl. Polym. Sci.*; **66**, 6, 1997.
27. Hoobhoy A. I.; New Dimensions in Automotive Use of Thermoplastic Urethane Elastomers; *J. Elastomers Plast.*; **6**, 4, 269-75, 1974.
28. Xanthos M., Tan V. and Ponnusaw AA., Polyethylenes and Their Blends: A Comparison of Experimental Techniques; *Polym. Eng. Sci.*; **37**, 6, 11-2-12, 1997.
29. Tang Y. et al., Rheological Properties of Isotactic and Atactic Propylene-Ethylene Copolymers; *J. Elastomers Plast.*; **20**, 4, 327-45, 1988.
30. Qian B. et al., Macromolecular Entanglement. IV. Modulus of Swelling Acrylic Fibers as a Means of Studying Macromolecular Entanglements; *J. Appl. Polym. Sci.*; **53**, 10, 1261-75, 1994.
- New York, 1969.
10. The Manual of Instron Capillary Rheometer, Model 3211.
11. Isauev A. I. et al.; Injection Molding of Semicrystalline Polymers. I. Material Characterization; *J. Appl. Polym. Sci.*; **55**, 807-19, 1995.
12. Hou C. et al.; A Study on Rheologic Behavior of Polyphenylene Sulfide; *J. Appl. Polym. Sci.*; **56**, 581-90, 1995.
13. Abraham D. et al.; Flow Behavior of LDPE and Its Blends with LLDPE I and II: A Comparative Study; *J. Appl. Polym. Sci.*; **62**, 59-65, 1996.
14. Chang J. H. et al.; The Effect of Composition on Thermal, Mechanical, and Morphological Properties of Thermotropic Liquid Crystalline Polyester with Alkyl Side-Group and PC Blends; *Polym. Eng. Sci.*; **37**, 9, 1564-71, 1997.
15. Bandiera M., Munari A. and Pezzin G.; Rheological Characterization of Random Poly(Butylene Isophthalate/Terephthalate) Copolymers; *Eur. Polym. J.*; **33**, 4, 497-500, 1997.
16. Ghosh K. and Maiti S. N.; Melt Rheological Properties of Silver-Powder-Filled Polypropylene Composites; *Polym. Plast. Tech.*; **36**, 5, 703-22, 1997.
17. DI Y. et al.; Capillary Flow Properties of Phenolphthalein Poly(ether ether ketone); *Polym. J.*; **29**, 1, 7-11, 1997.
18. Shuai L. I. et al.; A Comparison Between Apparent Viscosity and Dynamic Complex Viscosity for Polypropylene/Maleated Polypropylene Blends; *Polym. Eng. Sci.*; **37**, 1, 18-23, 1997.
20. Pendse A. V. and Collir J. R.; Elongational Viscosity of Polymer Melts: A Lubricated Skin Core Flow Approach; *J. Appl. Polym. Sci.*; **59**, 1305-14, 1996.